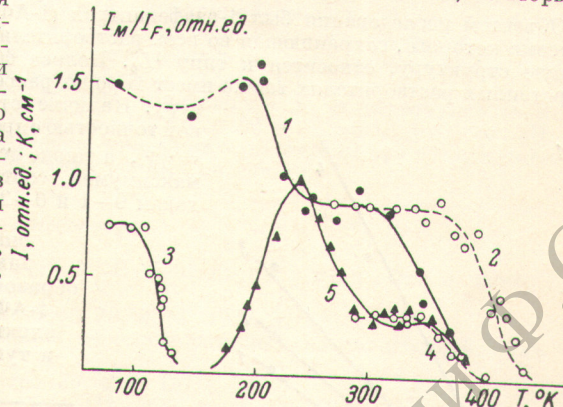


Исследование термoluminesценции этих кристаллов показало, что в этой области температур наблюдается максимум, соответствующий разрушению примесных центров захвата гомологических катионов. Возможно, что низкотемпературный механизм генерации  $F$ -центров связан с этими центрами захвата носителей тока.

Сопоставление кривых 1 и 2 показывает, что уменьшение скорости генерации  $F$ -центров начинается значительно при более низких температурах ( $310^{\circ}$  К, кривая 1), чем это можно было бы ожидать, исходя из данных по температурной устойчивости центров ( $350^{\circ}$  К, кривая 2). Значения энергии активации термического разрушения таких результаты легко объяснить, предположив, что возможны по крайней мере два механизма разрушения  $F$ -центров: во-первых, термическая ионизация и, во-вторых, разрушение  $F$ -центров благодаря диффузионным процессам. При определении эффективности генерации  $F$ -центров время выдержки кристалла при высокой температуре определялось временем его облучения и было на два порядка больше, чем при определении температурной устойчивости центров (2–3 сек.). По-видимому, в первом случае существенную роль в разрушении  $F$ -центров могут играть оба механизма, а во втором лишь ионизационный.

Что касается  $M$ -центров, то следует отметить, что при понижении температуры от  $300$  до  $230^{\circ}$  К увеличивается не только их скорость генерации, но и вероятность образования по отношению к  $F$ -центрам (кривая 5). Такой характер зависимости скорости генерации  $M$ -центров указывает, что в этой области температур процесс агрегации  $F$ -центров, по-видимому, не является основным механизмом образования  $M$ -центров при  $\beta$ -облучении в бромиде цезия.

Полученные результаты позволили интерпретировать пики  $127$ ,  $384$  и  $415^{\circ}$  К на кривой термовысвечивания в кристалле  $CsBr$  как область температурного разрушения соответственно  $F'$ - $M$ - и  $F$ -центров. Энергии активации термической ионизации, рассчитанные как из данных по температурной устойчивости центров, так и на основе кривой термoluminesценции, совпадают и равны для  $F'$ -центра  $0.17 \pm 0.03$ , для  $M$ -центра  $1.1 \pm 0.2$  и для  $F$ -центра  $1.4 \pm 0.2$  эВ.



Поглощение в  $F$ -полосе в зависимости от температуры облучения кристалла (1), относительная концентрация  $F$ -центров (2),  $F'$ -центров (3) и  $M$ -центров (4) (по люминесцентной методике) в зависимости от температуры частичного отжига и зависимость отношения интенсивностей люминесценции при подсветке в  $M$ - и  $F$ -полосах поглощения от температуры облучения кристалла (5).

- [1] P. A v a k i a n, A. S m a k u l a. Phys. Rev., 120, 2007, 1960.
- [2] D. W. L y n c h. Phys. Rev., 127, 1537, 1962.
- [3] N. V a n a. Acta Phys. Austriaca, 27, 161, 1968.
- [4] D. W. L y n c h, D. A. R o b i n s o n. Phys. Rev., 174, 1050, 1968.

Поступило в Редакцию 18 апреля 1973 г.

УДК 539.194

## ОПРЕДЕЛЕНИЕ ЭНЕРГИИ МЕЖМОЛЕКУЛЯРНОЙ ВОДОРОДНОЙ СВЯЗИ В ОСНОВНОМ И ПЕРВОМ ВОЗБУЖДЕННОМ ЭЛЕКТРОННЫХ СОСТОЯНИЯХ ДЛЯ СИСТЕМЫ 1-АЗАФЕНАНТРЕН—ФЕНОЛ

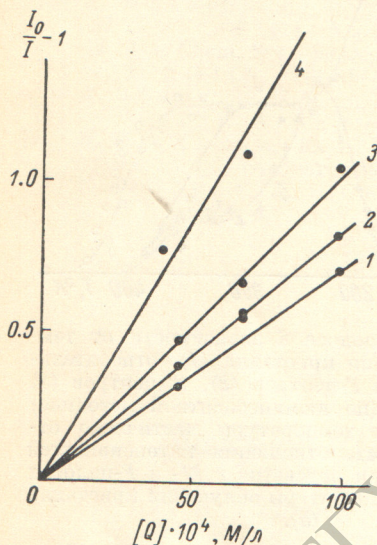
B. P. Клиндухов и T. Г. Мейстер

Для определения энергии (энталпии) межмолекулярной водородной связи (МВС) в первом электронно-возбужденном состоянии ( $W_e$ ) можно воспользоваться, согласно [1], данными по сдвигу  $\delta\nu_i$  частоты инверсии  $\nu_i$  исследуемой молекулы при образовании МВС. Сдвиг отсчитывается от частоты  $\nu_0^0$  инверсии молекулы в отсутствие МВС и соот-

вествует разности энергий МВС в основном ( $W_g$ ) и возбужденном состояниях. Таким образом, по сдвигу  $\delta\nu_i$  можно найти  $W_e$ , определив  $W_g$  каким-либо независимым способом. С другой стороны,  $W_e$  можно вычислить непосредственно из спектров флуоресценции по температурной зависимости константы равновесия  $K_e$  реакции образования МВС в возбужденном состоянии. Если исследуются нефлуоресцирующие молекулы или образование МВС приводит к тушению флуоресценции, т. е. нельзя определить сдвиг  $\delta\nu_i$ , образование МВС можно оценить величину  $\Delta W = W_g - W_e$  снизу с точностью до франк-кондоновского слагаемого  $\Delta W_e$  [1, 2]

$$\delta\nu_i \equiv \nu_i - \nu_i^0 = \Delta W; \quad \delta\nu_e^a \equiv \nu_e^a - \nu_{e0}^a = \Delta W + \Delta w_e.$$

Объектом исследования был 1-азафenantрен (1-АФ), длинноволновая полоса поглощения которого, сохраняющая во всех растворителях хорошо выраженную колебательную структуру, относится к типу  ${}^1L_b$ . Полоса флуоресценции растворов 1-АФ в аprotонных растворителях также имеет хорошо разрешенную колебательную структуру. Наличие структуры позволяет с достаточной точностью определять положение частот  $\nu_{e,f}^a = \nu_{00}^{a,f}$ , а также использовать данные по сдвигам максимумов, соответствующих вибронным переходам 0—1 и 0—2.



Зависимость тушения ( $I_0/I$ ) — 1 от концентрации  $[Q]$  фенола при температурах 11 (1), 30 (2), 39 (3) и 49° С (4).

(УМВ) [3], необходимо учитывать вклад УМВ в сдвиги, наблюдаемые в системах с МВС [1, 4]. Однако эксперимент показал, что для 1-АФ положение отдельных колебательных максимумов полосы поглощения практически не зависит от показателя преломления и диэлектрической проницаемости аprotонных растворителей. Это позволяет считать, что при наличии МВС — в растворителях, являющихся донорами протона ( $\text{D}$ ), — весь сдвиг в спектре поглощения обусловлен образованием МВС, и работать с трехкомпонентными системами, не учитывая вклад УМВ в сдвиг, наблюдаемый при этом.

Исследовались растворы 1-АФ в гексане ( $2 \cdot 10^{-4}$  М/л) с добавками фенола ( $\Phi$ ), парахлорфенола (ПХФ) и этанола ( $\mathcal{E}$ ). Концентрации добавок варьировались от  $5 \cdot 10^{-3}$  до  $1.3 \cdot 10^{-2}$  М/л. Наиболее подробно изучена система 1-АФ— $\Phi$ .

При добавлении в гексановый раствор 1-АФ добавок  $\text{D}$  в спектре поглощения появляются новые полосы, принадлежащие водородно-связанным комплексам 1-АФ с молекулами  $\text{D}$ . Во всех случаях сдвиг, одинаковый для всех колебательных максимумов полосы поглощения комплекса, растет с увеличением концентрации  $\text{D}$ . При добавке  $\mathcal{E}$  от  $3 \cdot 10^{-2}$  до  $3 \cdot 10^{-1}$  М/л  $\delta\nu_{00}^a = 30 \text{ см}^{-1}$  [5], в чистом  $\mathcal{E}$   $\delta\nu_{00}^a = 130 \text{ см}^{-1}$ ; при увеличении концентрации  $\Phi$  от  $2 \cdot 10^{-3}$  до  $2 \cdot 10^{-2}$  М/л  $\delta\nu_{00}^a$  возрастает от 200 до 250  $\text{cm}^{-1}$ ; изменение концентрации ПХФ от  $5 \cdot 10^{-3}$  до  $1 \cdot 10^{-1}$  М/л приводит к возрастанию  $\delta\nu_{00}^a$  от 230 до 400  $\text{cm}^{-1}$ . При нагревании тройных растворов с большой концентрацией  $\text{D}$  сдвиг уменьшается, колебательные полосы комплекса сужаются, а полосы свободных (не образовавших МВС) молекул уширяются. Концентрационные и температурные эффекты, вероятно, объясняются наличием комплексов различного состава при больших концентрациях  $\text{D}$  и низких температурах.

Из данных по сдвигу полосы поглощения 1-АФ в трехкомпонентных системах найдено  $|\Delta W|$  для комплексов: 1-АФ —  $\mathcal{E} \leq 0.1$  ккал/М, 1-АФ— $\Phi \leq 0.6$  ккал/М, 1-АФ — ПХФ  $\leq 0.7$  ккал/М. Во всех случаях  $\Delta W < 0$ , т. е.  $W_g < W_e$ .

При добавлении к раствору 1-АФ в гексане  $\Phi$  или ПХФ наблюдается тушение флуоресценции без видоизменения или сдвига спектра. Поэтому для этих систем нельзя

Значения констант равновесия реакции образования МВС системы 1-АФ— $\Phi$  в основном электронном состоянии и тушения при разных температурах

T, °C	K <sub>g</sub> , л/М	K <sub>Q</sub>
2	240	—
11	125	170
19	100	—
30	90	100
39	60	85
49	70	70

использовать данные по сдвигу частоты инверсии. Тушение флуоресценции 1-АФ в присутствии Ф и ПХФ, по-видимому, объясняется образованием азафенантреном с этими добавками нефлуоресцирующего комплекса, в котором  $\pi$ -электронные системы партнёров сопряжены с соответствующими функциональными группами, образующими МВС. Таким образом, константа тушения в данном случае можно [6-8] получить из наклона прямой, связывающей тушение ( $I_0/I$ ) — 1 (где  $I_0$  — интенсивность флуоресценции в отсутствие,  $I$  — при добавлении тушителя) с концентрацией тушителя  $[Q]$ . Зависимость  $(I_0/I) - 1$  от  $[Q]$  в нашем случае в пределах погрешности действительно является линейной (см. рисунок), что свидетельствует о преобладании тушения одного типа. Из температурной зависимости константы  $K_Q$  (см. таблицу) получается величина  $W_g$ .

Для определения энергии  $W_g$  использовались полученные нами данные по температурной зависимости константы равновесия  $K_g$  реакции образования МВС в основном электронном состоянии (по электронному спектру поглощения). Эти результаты также приведены в таблице. Следует отметить хорошее совпадение полученных нами значений  $K_g$  при комнатной температуре с результатами работы [5].

Значения энталпии комплекса 1-АФ—Ф, вычисленные по температурной зависимости констант равновесия, равны  $W_g = (4.4 \pm 0.5)$  ккал./М и  $W_e \geq (5.0 \pm 0.6)$  ккал./М, что согласуется с выводом о малом изменении энталпии этой системы при возбуждении в полосе  ${}^1L_b$ , сделанном выше на основании данных по сдвигу.

### Литература

- [1] Т. Г. Мейстер, Г. Я. Зеликина, В. П. Клиндуков. Опт. и спектр., 36, 668, 1974.
- [2] J. Pimentel. J. Am. Chem. Soc., 79, 3323, 1957.
- [3] Н. Г. Бахшиев. Спектроскопия межмолекулярных взаимодействий. Изд. «Наука», Л., 1972.
- [4] Т. Г. Мейстер. Опт. и спектр., 30, 220, 1971.
- [5] M. Nakamizo. Spectrochim. Acta, 22, 2039, 1966.
- [6] N. Mataga, T. Kubota. Molecular Interactions and Electronic Spectra. M. Dekker, N. Y., 1970.
- [7] В. Л. Ермолов, А. А. Крашенинников, А. В. Шабля. Опт. и спектр., 32, 831, 1971.
- [8] А. А. Крашенинников. Опт. и спектр., 33, 791, 1972.

Поступило в Редакцию 4 мая 1973 г.

УДК 539.196.01

## УЧЕТ МЕЖМОЛЕКУЛЯРНОГО ВЗАИМОДЕЙСТВИЯ ПРИ РЕШЕНИИ ПРЯМОЙ ЭЛЕКТРООПТИЧЕСКОЙ ЗАДАЧИ ДЛЯ МОЛЕКУЛЫ ХЛОРОФОРМА

Н. В. Богачев

Как показано в работе [1], рассеивающая способность (РС) молекулы в конденсированной фазе выражается через след и анизотропию тензора производной «эффективной» поляризуемости —  $b'^{\text{эфф}}$  и  $g'^{\text{эфф}}$ . Выражения для  $b'^{\text{эфф}}$  и  $g'^{\text{эфф}}$  легко построить с помощью формулы, полученной в [2]. Согласно этой формуле, любой элемент тензора производной «эффективной» поляризуемости связан с соответствующим элементом тензора производной поляризуемости соотношением

$$L_{ij} = \frac{gk(r, T, \alpha)}{\left(1 - \frac{\rho k(r, T, \alpha)}{a^3} a_{ii}\right) \left(1 - \frac{\rho k(r, T, \alpha)}{a^3} a_{ij}\right)}, \quad (1)$$

где

$$\left(\frac{\partial a_{ij}}{\partial Q_\theta}\right)^{\text{эфф.}} = L_{ij} \left(\frac{\partial a_{ij}}{\partial Q_i}\right).$$

Здесь  $g = 3n^2/(2n^2 + 1)$ ,  $\rho = 2(n^2 - 1)/(2n^2 + 1)$  ( $n$  — показатель преломления),  $k(r, T, \alpha)$  — некоторая функция, ответственная за дисперсионные и индукционные силы в жидкости,  $\alpha$  — средняя поляризуемость,  $a_i$  и  $a_j$  — компоненты тензора поляризуемости молекулы,  $a$  — онзагеровский радиус.

Рассмотрим молекулу хлороформа; эта молекула принадлежит к группе симметрии  $C_{3v}$  и имеет колебания типов симметрии  $A_1$  и  $E$ .